

Iragi National Journal of Earth Science



www.earth.mosuliournals.com

التحليل والنمذجة الهيدرولوجية للجريان السطحي للأحواض المائية في منطقة (قضاء الشرقاط – محافظة صلاح الدين) دراسة مقارنة بين طريقتي (CN-SCS) و (Snyder)

 $^{(1)}$ نورالدين فيصل ابراهيم السامرائي 1* $^{(1)}$ ، دلي خلف حميد الجبوري

الملخص

تمت دراسة مساحة (1558.3) كم الواقعة ضمن منطقة قضاء الشرقاط وجاءت أهمية دراسة هذا الموضوع من خلال ان أحواض منطقة الدراسة تعتبر من الأودية الموسمية الجريان في قضاء الشرقاط التي تجري فيها المياه أثناء فصل الشتاء والربيع عند سقوط الأمطار والتي غالباً ما تكون بصورة وابل غزير في اوقات غير منتظمة في الكم والزمان، حيث استخدمت كُلاً من طريقتي (cn-scs) ونموذج (snyder) في دراسة الخصائص الهيدرولوجية لبيئة الاحواض المائية لمنطقة قضاء الشرقاط الواقعة ضمن محافظة صلاح الدين. وتم اجراء مقارنة للنتائج المستحصلة من كلا الطربقتين لمعرفة مدى ملائمة تطبيق هذه الطرق لطبيعة منطقة الدراسة. واظهرت النتائج ان قيم (CN) من الممكن أن يحصل فيها توليد جريان مائي، مع امكانية تحديد المكان الملائم لاستغلال مياه السيول والفيضانات القادمة الى قضاء الشرقاط والتي يمكن الاستفادة منها في شتى المجالات، بينما نموذج (Tp) يوضح انه كلما زادت قيم (ct) ارتفع زمن استجابة الاحواض للوصول الى ذروة التدفق بدلالة قلة الانحدار ، كما ان جميع قيم معامل (S) تتجه نحو (0) واقل من الوسيط البالغ قيمته (254) ملم، وهذا يدل على ان الاحواض ضعيفة في حفظ الماء على السطح بعد بدء الجربان مما يؤدي ذلك الى ارتفاع كمية الجربان وزيادة فرص الخطورة على الاحواض المائية في منطقة الشرقاط.

معلومات الارشفة

تاريخ الاستلام: 24- اكتوبر -2023

تاريخ المراجعة: 23- نوفمبر -2023

تاريخ القبول: 20- ديسمبر -2023

تاريخ النشر الالكتروني: 01- يناير -2025 الكلمات المفتاحية:

طريقة (CN-SCS)

نموذج (سنايدر)

زمن التباطؤ أو زمن استجابة الحوض المائي للأمطار (Tp)

عمق الجربان السطحى (Q)

حجم السيل المائي (AL)

المياسا ته.

الاسم: نورالدين فيصل إبراهيم السامرائي Email nooraldeenalsammarry @gmail.com

DOI: <u>10.33899/earth.2023.144137.1168</u>, ©Authors, 2025, College of Science, University of Mosul. This is an open access article under the CC BY 4.0 license (<u>http://creativecommons.org/licenses/by/4.0/</u>).

أقسم الجغرافية، كلية التربية، جامعة سامراء، سامراء، العراق.

² قسم الجغرافية، كلية التربية للعلوم الإنسانية، جامعة تكربت، تكربت، العراق.

Hydrological analysis and modeling of surface runoff of water basins in the area (Shirqat District - Saladin Governorate) A comparative study between the (CN-SCS) and (Snyder) methods

Noor Al-Den Faisal Ibrahim Alsamarray^{1*} D, Deli Khalaf Hamid Aljibory ²

¹ Department of Geography, College of Education, University of Samarra, Samarra, Iraq.

² Department of Geography, College of Education for Humanities, University of Tikrit, Tikrit, Iraq.

Article information

Received: 24- Oct -2023 **Revised:** 23- Nov -2023 **Accepted:** 20- Dec -2023

Available online: 01- Jan - 2025

Keywords:

cn-scs method Snyder model Deceleration time or the response time of the water basin to rain (Tp) Surface runoff depth (Q) Volume of water flow (AL)

Correspondence:

Name: Noor Al-Den Faisal Ibrahim

Alsamarray

Email nooraldeenalsammarry @gmail.com

ABSTRACT

The area (1558,3) km² in AL- Sharakat district had been studied. The importance of this subject was fulfilled through the (pools / rain basins) in the area of the study which is considered seasonal valleys in Al- sharkat area. The water flows during the Winter and Spring during the fall of rain which is always heavy at irregular times in quantity and time. I have used both (cn-scs) and the pattern (Snyder) in the study of Hydrology features of the environments of water basins (pool) of the area of Al- sharkat in Saladdin province. I have made a comparison of the results of both ways to know if the application of these ways are suitable for the nature of the study area. the results have shown that the value of (cn-scs) that the fall of water may happen with the possibility of pointing the limit of the suitable place for exploiting the water of floods coming to Sharkat that can be useful in different fields while the pattern (TP) shows that whenever the value of (ct) the time of pools (basins) response to gain the top of flowing in the little steep, moreover, coefficients moving towards (0) and less than medium which is (254), this shows that water basin is weak in keeping water on the surface in flowing. Therefore, the quantity of flowing and increasing danges on the water basins in Al-Sharkat district.

DOI: 10.33899/earth.2023.144137.1168, @Authors, 2025, College of Science, University of Mosul. This is an open access article under the CC BY 4.0 license (http://creativecommons.org/licenses/by/4.0/).

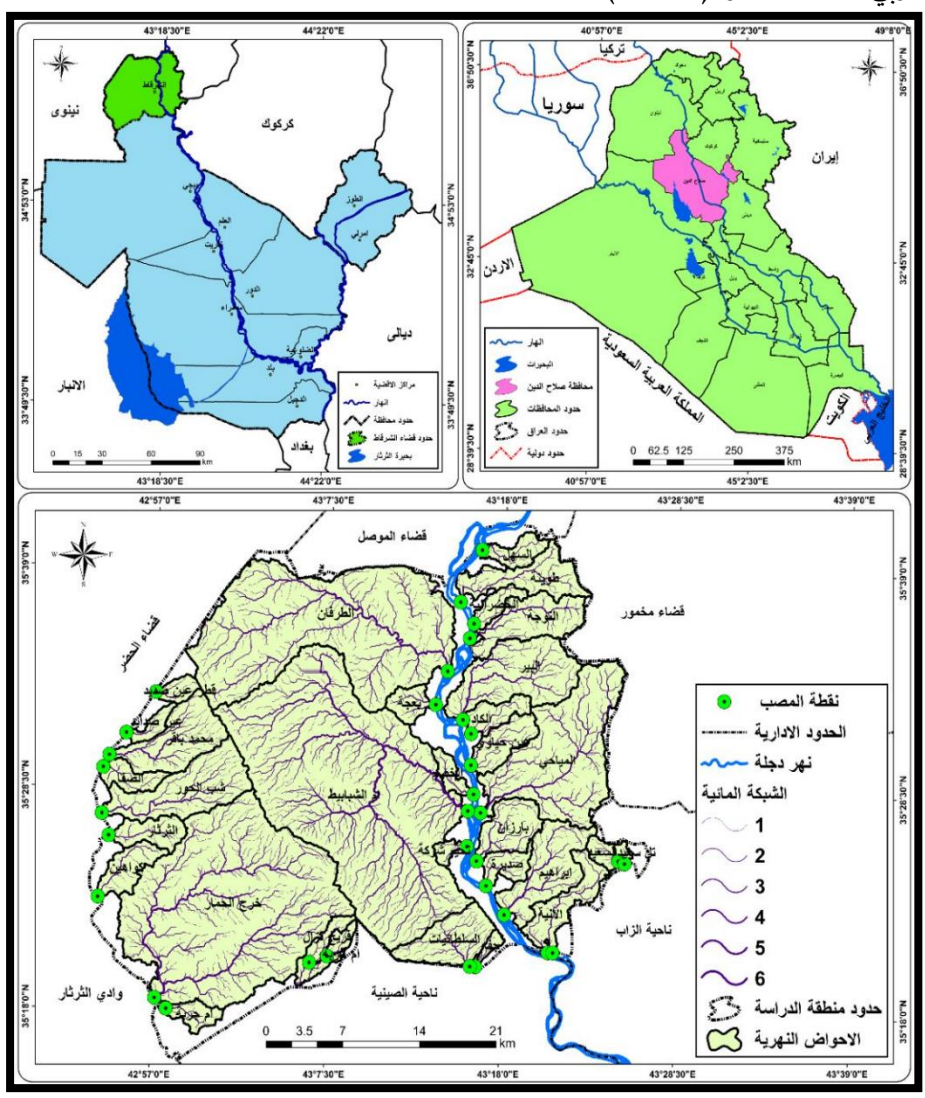
المقدمة

تعد عملية تحليل وبمذجة الاحواض المائية أحد أهم الاتجاهات الاحصائية الحديثة بشكلٍ عام والهيدرولوجيا التطبيقية بشكلٍ خاص (Al-Koumi, 2022)، حيث تعتبر تجريد للمواقع ترتكز عليها جميع المعلومات التي تخدم هدف الدراسة البحثية، وقد تم استخدام البيانات الرقمية ونماذج الارتفاعات الرقمية وصور الأقمار الصناعية في تحليلها (and Al-Ajili, 2019)، وتعدف أعمال النمذجة الهيدرولوجية ثنائية الأبعاد الى تحديد أكثر دقة للمناطق المهددة بخطر جريان السيول والفيضانات الاستثنائية (Hussein, 2022)، ومدى تأثيرها على المنشآت البشرية والمرافق والبنى التحتية التي تعترض مسار تلك المخاطر الهيدرولوجية في المنطقة. وتأتي أهمية الدراسات الهيدرولوجية التي تعد من الدراسات المكانية المهمة من حيث امكانية توظيفها في مجالات متعددة (2020) والمواقع بان هذه الدراسة مثلت محاولة للقيام بدراسة هيدرولوجية مقارنة للمتغيرات بين طريقتي (cn-scs) ونموذج (snyder)، فضلاً عن تقديم نمذجة هيدرولوجية لخصائص الجريان السطحي للأحواض المائية في قضاء الشرقاط (snyder)). وتوضح مشكلة البحث من خلال لخصائص الجريان السطحي للأحواض المائية في قضاء الشرقاط احصائياً وما محددات ذلك؟ اما فرضيات البحث فتوضح انه هناك مطابقة واضحة بين الحواض المائية في قضاء الشرقاط احصائياً وما محددات ذلك؟ اما فرضيات البحث فتوضح انه هناك مطابقة واضحة بين طريقة (Snyder). وبين نموذج (cn-scs) وبين نموذج (cn-scs) وبين نموذج (cn-scs) وبين نموذج (cn-scs) وبين نموذج الهيدرولوجي لبيئة الاحواض المائية في قضاء الشرقاط احصائياً وما محددات ذلك؟ اما فرضيات البحث فتوضح انه هناك مطابقة واضحة بين

صياغة الخصائص الهيدرولوجية وتباينها زمانياً ومكانياً. وتأتى أهداف البحث الى دراسة المتغيرات الهيدرولوجية لبيئة الاحواض المائية وايجاد العلاقة بين طريقة (cn-scs) وبين نموذج (snyder) اعتماداً على امكانيات نظم المعلومات الجغرافية. وانشاء خريطة لنمذجة المقارنة الهيدرولوجية للأحواض المائية في منطقة الدراسة.

موقع منطقة الدراسة

تتحدد منطقة الدراسة بقضاء الشرقاط الواقع في الجزء الشمالي من محافظة صلاح الدين، والذي يقع ضمن المنطقة المتموجة من العراق، وتبلغ المساحة الكلية لمنطقة الدراسة حوالي (1558.3) كم 2 ، وتتحصر بين دائرتي عرض (35,10,00, المتموجة من العراق، وتبلغ المساحة الكلية لمنطقة الدراسة حوالي و (30,00, 40, 35) شمالاً، وبين خطي طول (30,00, 42, 30,00) و (42,00,00) شرقاً. وتبعد منطقة الدراسة عن مركز محافظة صلاح الدين بمسافة تقدر بـ (125) كم2، إدارياً يحدها من الشمال والغرب محافظة نينوي، ومن الشمال الشرقي محافظة أربيل وقضاء مخمور، ومن الشرق محافظة كركوك وناحية الزاب، ومن الجنوب قضاء بيجي، ومن الجنوب الغربي وادي الثرثار، ومن الشمال الغربي قضاء الحضر (الشكل 1).



الشكل 1. خارطة موقعية لقضاء الشرقاط

بالاعتماد على خريطة العراق الادارية ومحافظة صلاح الدين الإدارية بمقياس رسم 250000/1، وانموذج الارتفاع الرقمي ذي الدقة التميزية (30م) والمأخوذ من هيئة المسح الجيولوجي الامريكي (USGS).

la = 0.2S

المواد وطرق العمل

تعتمد هذه الدراسة على المنهج التحليلي الذي يبدأ من الجزء الى الكل ثم تحليلها بشكل دقيق مع توظيف التقنيات الحديثة المتمثلة بنظم المعلومات الجغرافية مدعماً بالوسائل الكمية والنماذج الرياضية ضمن إطار متكامل لتحقيق هدف الدراسة وكما يلي.

أولاً: البيانات المستخدمة:

1- البيان الفضائي للقمر الصناعي (Landsat 8) لسنة (2023/3/30) وبدقة تميزية (30) متر والمأخوذ من هيئة المسح الجيولوجي الأمريكي https://ers.cr.usgs.gov USGS.

USGS المريكي المريكي المريكي المريكي المريكي المريكي المريكي −2 المريكي المريكي المريكي المريكي ∪SGS. المريكي المريك

ثانياً: البرمجيات المستعملة:

1- برنامج (Arc GIS Desktop.V.10.4.1) وهو عبارة عن نظام متكامل استعمل لبناء طبقات المعلومات الأرضية الجغرافية والمكانية والاحصائية ، واجراء التحليل المكانى ، وإنتاج الخرائط.

2- برنامج (Erdas Imagine.v.2015)، وتم استخدامه من أجل معالجة ودمج وقطع المرئيات الفضائية وتجهيزها للعمل.

ثالثاً: التقنيات المستخدمة:

1- طريقة (cn-scs):

تعد من الطرق المهمة لحساب الجريان السطحي، اذ تم الاعتماد على فرضية صيانة التربة الامريكية (Soil المهمة لحساب الجريان السطحي ومعامل الجريان الناتجة من conservation service) والتي تعرف بطريقة (SCS – CN) لتقدير عمق الجريان السطحي ومعامل الجريان الناتجة من عاصفة مطرية مؤثرة، حيث تأخذ هذه الفرضية بالحسبان نوع التربة واستعمالات الارض والغطاء الارضي ورطوبة التربة الأولية، ويعبر عن العلاقة الرياضية لنموذج منحنى الجريان السطحي بالمعادلة رقم (1) (Al-Fatlawi, and Al-Zamili, (1)).

$$Q=rac{(P-la)^2}{(P-la)+s}$$
 (1) معادلة رقم

-: حيث ان

عمق الجربان السطحى (بالبوصة) Q

 $P = \mathbf{P}$ كمية الأمطار الساقطة (بالبوصة)

الاعتراض الأولى قبل بدء الجريان السطحى متمثل بالتبخر والتسرب والنبات la

التجمع السطحي بعد بداية الجربان السطحي (بالبوصة) S

وبما أن Ia تعادل خمس قيمة S فأن Ia تصبح كالآتي (USDA,2008).

معادلة رقم (2)

ووفق ذلك تكون المعادلة كالاتي:-

$$Q = \frac{(P - 0.2S)^2}{(P - 0.8) S}$$
 (3) معادلة رقم

اما حساب قيمة (S) فيكون على اساس العلاقة الرياضية الاتية:-

$$S = \frac{1000}{CN} - 10$$
 (4) معادلة رقم

ويلاحظ ان مدخلات البيانات كانت بالبوصة لذا من المفروض إعادة صيغة المعادلة لتتوافق مع المقاييس المترية، اذ ضربت أرقام المعادلة السابقة في (25.4) وذلك لتحويلها الى المليمتر فأصبحت بالصيغة الاتية:-

$$S = rac{25400}{CN} - 254$$
 (5) معادلة رقم

ولإعداد الطبقات (Q, Ia, s) تم ادخال المعادلات في برنامج (Arc Map.v.10.4.1) من خلال استخدام الحاسبة الخلوية (Raster Calculator)، وأخيراً تم احتساب حجم الخلوية (Raster Calculator)، ضمن وظائف طبقات المحلل المكاني (Spatial Analyst)، وأخيراً تم احتساب حجم الجريان السطحي من خلال الشكل رقم (2) والجدول رقم (1) و (2) والمعادلة الاتية (Sharifi):-

$$m{Q}_v = (m{Q} * A/\mathbf{1000})$$
 (6) معادلة رقم

حيث ان:

حجم الجريان السطحى = Q_v

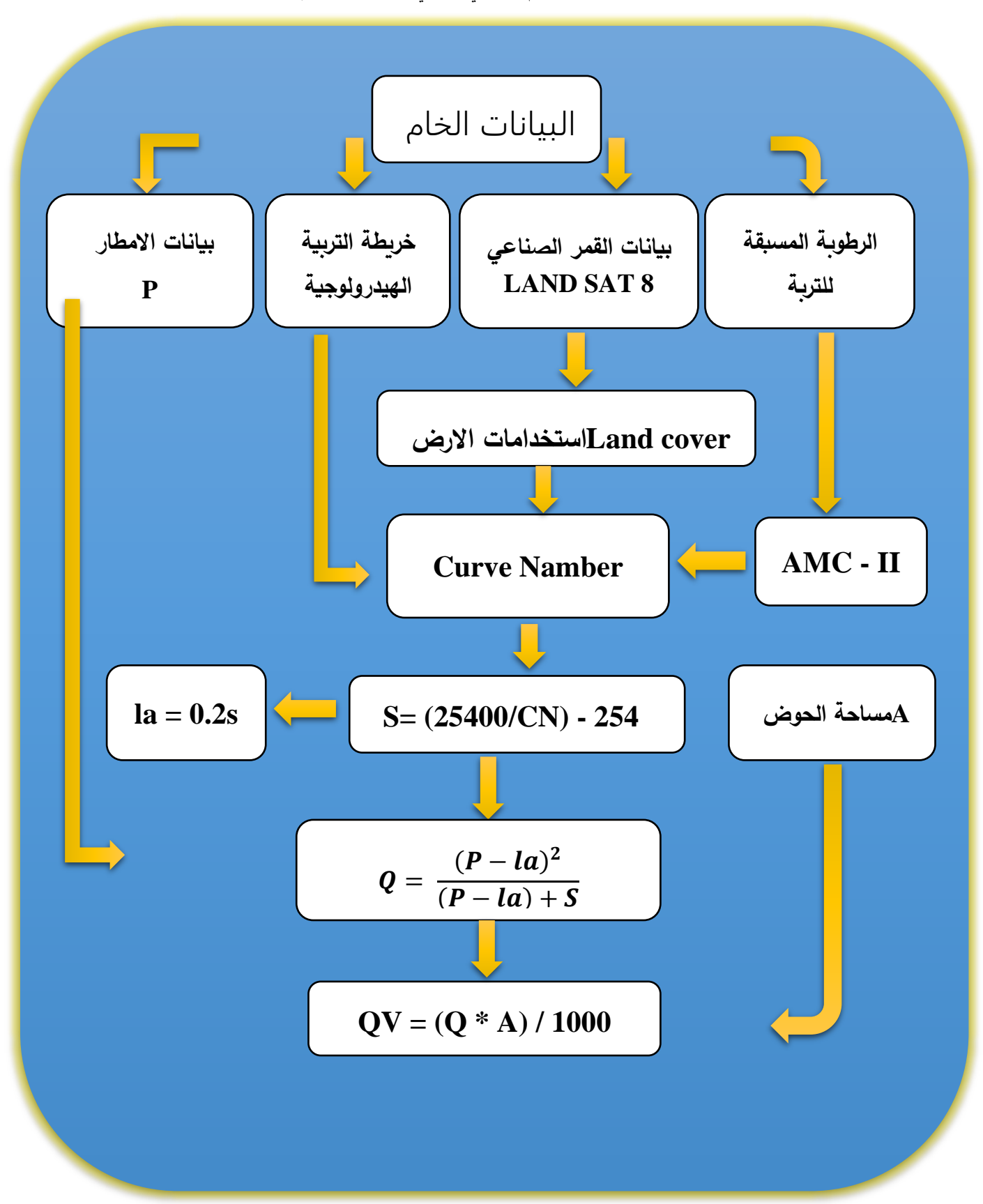
عمق الجريان السطحى / ملم = Q

 2 مساحة حوض التصريف / كم = A

1000= معامل التحويل

2- نموذج (Snyder):

يهدف هذا النموذج (سنايدر) الى تقدير حجم السيول في احواض المنطقة التي تفتقر الى محطات قياس السيول ومعدل تصريفها خلال مواسم حدوث السيول والفيضانات في منطقة قضاء الشرقاط. حيث استخدم في هذه الدراسة اسلوب النمذجة الهيدرولوجية من خلال الربط بين نموذج الحاسوب الرقمي لتحويل خصائص الحوض الى خرائط رقمية وذلك باستخدام نظم المعلومات الجغرافية (GIS) واستخدام Wydrology (Spatilal Analyst Tools)، لتحديد حدود احواض منطقة الدراسة وقياس المتغيرات الخاصة بالطريقة والنموذج لها بالإضافة إلى تقدير حجم وتصريف موجات السيول المطرية بالاعتماد على نموذج سنايدر (snyder's model) ونتيجة للصعوبة في تقدير موجات السيول من تلك الاحواض كونها تحتاج الى توفير معدات واجهزة قياس حقلية فضلاً عن صعوبة قياس التصريف خلال مدة العاصفة المطرية وموجة الفيضان في الحوض المائي. وفيما يأتي تطبيق نماذج (سنايدر) على الاحواض المائية في قضاء الشرقاط.



الشكل 2. مخطط توضيعي لمراحل تقدير حجم الجريان السطعي وفق طريقة (CN - SCS)

Vijay P. Singh, Donald K. Frevert, Watershed ((SCS) وفق طريقة (CN) وفق طريقة المعد المنعقق رقم المنحنى المحدول 1: الملحق المعد المنتقاق رقم المنحنى Models, CRC Press is an imprint of Taylor & Francis Group, 2006, P 364.

وصف استخدامات الارض							
(LAND USE DESCRIPTION)		A	В	С	D		
الاراضي المزروعة							
بدون معالجة حماية التربة		72	79	81	91		
مع معالجة حماية التربة		62	71	78	81		
اضي المراعي الاصطناعية والمراعي الطبيعية	ارا						
ظروف فقيرة ظروف غنية جدأ		68	79	86	94		
		39	61	74	80		
أراضي اعشاب							
ظروف جيدة		30	58	69	80		
أراضي الغابات							
جناح خفیف – غطاء قلیل – لا أمراض		45	66	77	83		
غطاء سميك وغني		25	55	70	77		
ة – اراضي – اراضي عشبية ً– مسارات الغولف - المقابر	ار اضىي مفتوح						
ظروف جيَّدة: الغطاء العشبي 75% أو أكثر		39	61	74	80		
روف متوسطة: الغطاء العشبي بين 50-75%	ظ	49	69	79	87		
المناطق التجارية والمهنية 85% غر نفاذة		89	92	94	95		
المقاطعات الصناعية 72% غير نفاذة		81	88	91	93		
ار اضي سكنية							
معدل غير النفاذ	معدل حجم القطعة						
8-1	65	77	85	90	92		
4-1	38	61	75	83	87		
3-1	30	57	72	81	86		
2-1	25	54	70	80	85		
1 فاكثر	20	51	68	75	84		
ــي لوقوف السيارات معبدة ــ سطوح ، ممرات الخ	قطع اراض	98	98	98	98		
الشوارع والطرق							
معبدة مع ارصفة ومجاري تصريف الامطار		98	98	98	100		
طرق غير معبدة حصوية		76	85	89	91		
طرق متروكة		72	82	87	89		

الجدول 2: قيم الـ(CN) لأحواض قضاء الشرقاط

81	90	78	69	30	82	77	58	72	85	79	98	CN	قیم منحنی
												۷	الاحواض
				60.6	639	81.5	444.8	42.4	154	42.9	30.5	المساحة	* 1 441 1
				3.9	41	5.2	28.5	2.7	9.9	2.8	2	النسبة	ام الشبابيط
					639		444.8		154		30.5	المساحة	1 11 - :
					41		28.5		9.9		2	النسبة	خرج الحمار
				60.6	639	81.5	444.8	42.4	154	42.9	30.5	المساحة	الطرفان
				3.9	41	5.2	28.5	2.7	9.9	2.8	2	النسبة	الطرفان
1	4.5	22.7	34.4	60.6	639	81.5	444.8	42.4	154	42.9	30.5	المساحة	llaste.
0.1	0.3	1.5	2.2	3.9	41	5.2	28.5	2.7	9.9	2.8	2	النسبة	المياحي
				60.6	639	81.5	444.8	42.4	154	42.9	30.5	المساحة	*1
				3.9	41	5.2	28.5	2.7	9.9	2.8	2	النسبة	البير
					639		444.8		154			المساحة	* *
					41		28.5		9.9			النسبة	شب الحور
					639		444.8		154		30.5	المساحة	71 .
					41		28.5		9.9		2	النسبة	محمد باقر
1	4.5	22.7	34.4		639		444.8		154	42.9	30.5	المساحة	
).1	0.3	1.5	2.2		41		28.5		9.9	2.8	2	النسبة	ابراهيم
					639		444.8		154		30.5	المساحة	-1 *1 † 1 *1
					41		28.5		9.9		2	النسبة	السلطانيات
				60.6	639	81.5	444.8	42.4	154	42.9	30.5	المساحة	7
				3.9	41	5.2	28.5	2.7	9.9	2.8	2	النسبة	النوجة
	4.5	22.7	34.4	60.6	639	81.5	444.8	42.4	154	42.9	30.5	المساحة	. 1: 1
	0.3	1.5	2.2	3.9	41	5.2	28.5	2.7	9.9	2.8	2	النسبة	بارزان
				60.6	639	81.5	444.8	42.4	154	42.9	30.5	المساحة	
				3.9	41	5.2	28.5	2.7	9.9	2.8	2	النسبة	عين حياوي —
				60.6		81.5		42.4			30.5	المساحة	
				3.9		5.2		2.7			2	النسبة	توض بعجة -

المصدر: بالاعتماد على جدول رقم (1) والمجموعة الهيدرولوجية التربة.

1- حساب زمن التباطؤ (Tp):

ويستخرج من المعادلة التالية (Ghorban Vahabzadeh ,December 2013):

$$Tp_{(hr)} = Ct * (Lb - Lca)^{0.3}$$
 معادلة رقم

حيث ان:-

= زمن التباطؤ (ساعة)، او فترة استجابة الحوض المائي لهطول الامطار (ساعة).

= معامل زمن الذروة وهو خاص بطبيعة الحوض وانحداره وتتراوح قيمته بين (0.2 و 2.2).

= طول المجرى الرئيسي (كم).

= المسافة بين مصب الحوض ومركز ثقله (كم).

2- حساب زمن التركيز (TC):

$$Tc = 0.00032 * (L)^{1.15} * (H)^{-0.385}$$
 معادلة رقم

حيث ان:-

زمن التركيز بالساعات = Tc

طول المجرى الرئيسي/كم = L

H = الفارق الرأسي بين أدني وأعلى نقطة في الحوض/م

3- حساب كمية التدفق الاقصى للسيول بالحوض المائى (Qp):

ويتم استخراج القيمة المحسوبة لكمية التدفق الاقصى للسيول في المنطقة بتطبيق المعادلة الآتية (2013) (and Muhammad):

$$.....$$
 (9) معادلة رقم $Qp_{(m^3/s)} = CP * A/Tp_{(hr)}$

حيث ان:-

الاقصى بالحوض المائي مقاسة (م $^{8}/^{1}$) حمية التدفق الاقصى بالحوض المائي مقاسة (م

معامل تدفق الذروة ويرتبط بقابلية الحوض المائي لتخزين المياه وله علاقة بالنفانية وتتراوح ${\it CP}$

قيمته بين (2–6.5)

 $(^2$ مساحة حوض التصريف (كم = A

فترة استجابة الحوض المائي لهطول الامطار (ساعة) وتحسب من خلال معادلة زمن التباطؤ. $Tp_{(hr)}$

4- حساب عمق (سمك) الجربان السطحى المناسب لذروة تدفق السيل:

ان هذه الطريقة يتم حسابها بواسطة المعادلة التالية (Raghunath H, M.2006).

$$E_{(mm)} = \ m{Q} m{p}_{(\max)(m^3/S)} \{ m{T} m{m}_{(sec)} * m{10}^{-3} m{)} m{S}^{-1} \cdot (km^2) \} \}$$
 (10) معادلة رقم

حيث ان:-

. (ملم) عمق (سمك) الجريان السطحي $E_{(mm)}$

.(Qp) (5) محسوبة من معادلة رقم (
$$p$$
) التدفق الاقصى للسيول لأعلى قيمة بالحوض المائي (p) محسوبة من معادلة رقم p

زمن الارتفاع التدريجي لتدفق السيل (ثانية). $= Tm_{(sec)}$

مساحة الحوض (كم2). $= S_{(km^2)}$

-5 حساب حجم الجريان في الاحواض المائية (مليون م 8 رثا):

بارزان

عين حياوي

حوض بعجة

النسبة

المساحة

المساحة

ويتم حسابه وفق المعادلة الاتية (Raghunath H, M.2006), (Pnud,1987).

$$AL_{(Hm^3)} \ ({f 10}^6 m^3) = \ {m Qp}_{(m^3/S)} [Tm_{(sec)}*{f 10}^{-6}] \ \dots \dots (11)$$
معادلة رقم

حيث ان:-

. (مليون/ م3) حجم التدفق المائي على مستوى الحوض المائي (مليون/ م3) $= AL_{(Hm^3)} (10^6 m^3)$

(Qp) (5) محسوبة من معادلة رقم (7) محسوبة من معادلة رقم (9) (
$$p$$
). $p_{(m^3/S)} = p_{(m^3/S)}$ (p) (p) (5) التدفق الأرتفاع التدريجي لتدفق السيل (ثانية).

النتائج والمناقشة

أولاً: طريقة (cn-scs):

من خلال تطبيق المعادلات أعلاه على احواض منطقة الدراسة تم التوصل الى نتائج متغيرات طريقة (cn-scs) كما موضح في الجدول رقم (3، 4، 5 و6) والشكل رقم (3).

الجدول 3: قيم الـ(S) لأحواض قضاء الشرقاط 59.6 28.2 71.6 114.1 592.7 75.9 183.9 67.5 قیم معامل S 55.8 الاحواض 60.6 639 81.5 444.8 42.4 154 42.9 30.5 المساحة 9.9 41 5.2 28.5 2.8 444.8 154 30.5 المساحة

ام الشبابيط خرج الحمار 28.5 42.4 42.9 60.6 639 81.5 444.8 154 30.5 المساحة الطرفان 41 28.5 9.9 42.4 42.9 60.6 639 81.5 30.5 المساحة 444.8 154 المياحي 0.1 1.5 41 28.5 9.9 المساحة 42.4 42.9 30.5 60.6 639 81.5 444.8 154 البير 9.9 444.8 المساحة 639 154 شب الحور 41 28.5 9.9 النسبة 639 154 30.5 444.8 المساحة محمد باقر 28.5 9.9 639 444.8 154 30.5 المساحة ابراهيم 41 28.5 9.9 النسبة 639 154 30.5 السلطانيات النسبة 28.5 99 41 60.6 639 81.5 444.8 42.4 154 42.9 30.5 المساحة النوجة 3.9 41 28.5 9.9 2.8 444.8 154 42.9 المساحة

9.9

154

9.9

42.9

2.8

30.5

30.5

42.4

42.4

الجدول 4: قيم الـ(IA) لأحواض قضاء الشرقاط

28.5

444.8

28.5

81.5

0.3

1.5

60.6

3.9

41

11.9	5.6	14.3	22.8	118.5	11.2	15.2	36.8	19.8	9	13.5	1	LA (قيم معامل	
												الاحواض		
				60.6	639	81.5	444.8	42.4	154	42.9	30.5	المساحة	1 1 211 1	
				3.9	41	5.2	28.5	2.7	9.9	2.8	2	النسبة	ام الشبابيط -	
					639		444.8		154		30.5	المساحة	1 11 - •	
					41		28.5		9.9		2	النسبة	خرج الحمار -	
				60.6	639	81.5	444.8	42.4	154	42.9	30.5	المساحة	.12.1.11	
				3.9	41	5.2	28.5	2.7	9.9	2.8	2	النسبة	الطرفان –	
1	4.5	22.7	34.4	60.6	639	81.5	444.8	42.4	154	42.9	30.5	المساحة		
0.1	0.3	1.5	2.2	3.9	41	5.2	28.5	2.7	9.9	2.8	2	النسبة	المياحي –	
				60.6	639	81.5	444.8	42.4	154	42.9	30.5	المساحة	•	
				3.9	41	5.2	28.5	2.7	9.9	2.8	2	النسبة	البير	
					639		444.8		154			المساحة		

					41		28.5		9.9			النسبة	شب الحور
					639		444.8		154		30.5	المساحة	71 .
					41		28.5		9.9		2	النسبة	محمد باقر
1	4.5	22.7	34.4		639		444.8		154	42.9	30.5	المساحة	1 . 1
0.1	0.3	1.5	2.2		41		28.5		9.9	2.8	2	النسبة	ابراهيم
					639		444.8		154		30.5	المساحة	السلطانيات
					41		28.5		9.9		2	النسبة	استطانیات
				60.6	639	81.5	444.8	42.4	154	42.9	30.5	المساحة	7 -11
				3.9	41	5.2	28.5	2.7	9.9	2.8	2	النسبة	النوجة -
	4.5	22.7	34.4	60.6	639	81.5	444.8	42.4	154	42.9	30.5	المساحة	. 1: 1
	0.3	1.5	2.2	3.9	41	5.2	28.5	2.7	9.9	2.8	2	النسبة	بارزان
				60.6	639	81.5	444.8	42.4	154	42.9	30.5	المساحة	
				3.9	41	5.2	28.5	2.7	9.9	2.8	2	النسبة	عين حياوي
	•			60.6		81.5	•	42.4			30.5	المساحة	- 3
	·			3.9		5.2	•	2.7			2	النسبة	حوض بعجه

الجدول 5: قيم الـ(Q) لأحواض قضاء الشرقاط

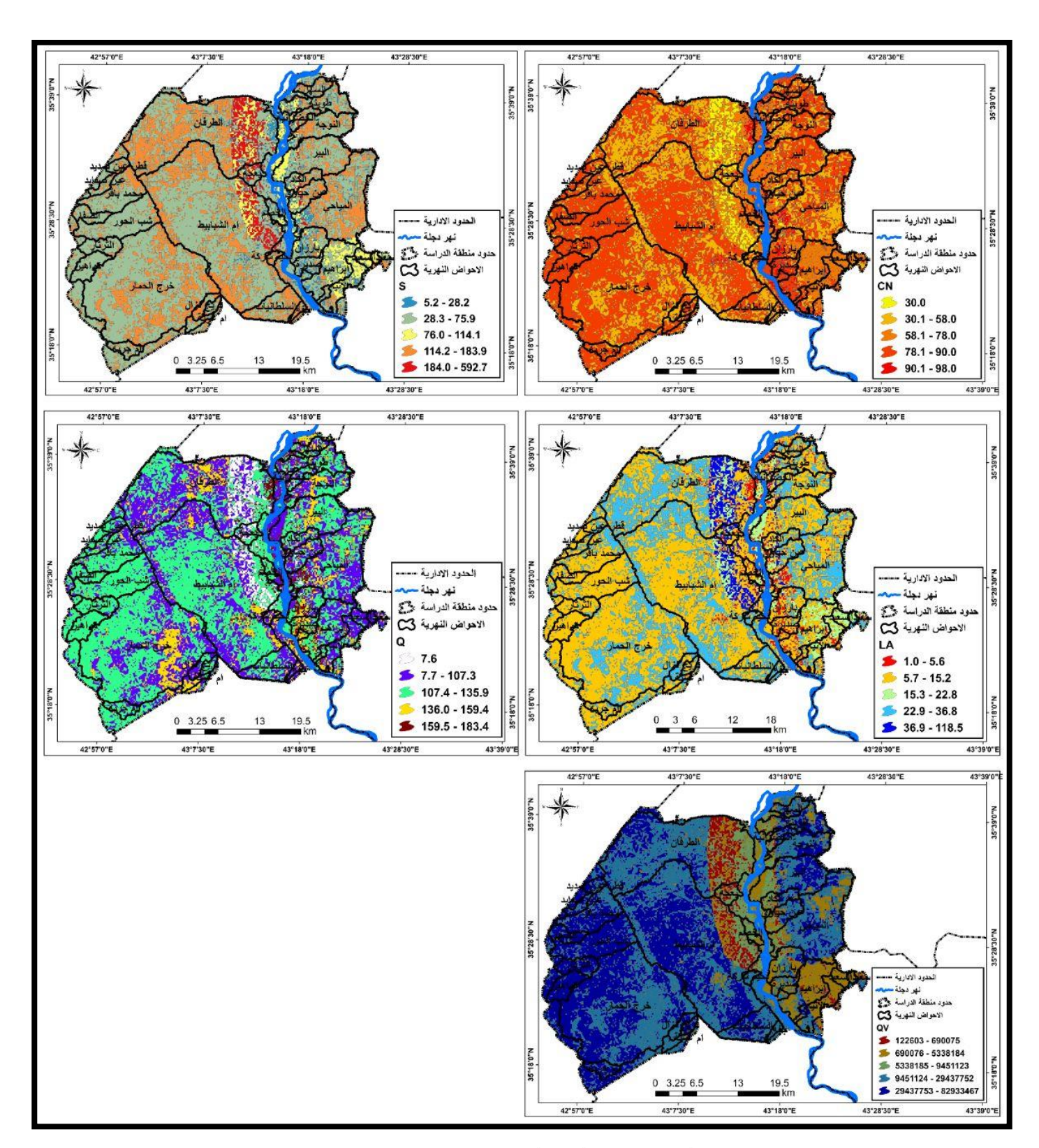
133	159.4	124.3	98.9	7.6	135.9	121.5	69.3	107.3	144.6	127.2	183.4	Q d	قيم معامل
												ن	الاحواض
				60.6	639	81.5	444.8	42.4	154	42.9	30.5	المساحة	taulutti -
				3.9	41	5.2	28.5	2.7	9.9	2.8	2	النسبة	م الشبابيط
					639		444.8		154		30.5	المساحة	رج الحمار
					41		28.5		9.9		2	النسبة	رج انعمار
				60.6	639	81.5	444.8	42.4	154	42.9	30.5	المساحة	الطرفان
				3.9	41	5.2	28.5	2.7	9.9	2.8	2	النسبة	الطرقان
1	4.5	22.7	34.4	60.6	639	81.5	444.8	42.4	154	42.9	30.5	المساحة	1 11
0.1	0.3	1.5	2.2	3.9	41	5.2	28.5	2.7	9.9	2.8	2	النسبة	المياحي
				60.6	639	81.5	444.8	42.4	154	42.9	30.5	المساحة	••
				3.9	41	5.2	28.5	2.7	9.9	2.8	2	النسبة	البير
					639		444.8		154			المساحة	*1
					41		28.5		9.9			النسبة	شب الحور
					639		444.8		154		30.5	المساحة	71 .
					41		28.5		9.9		2	النسبة	حمد باقر
1	4.5	22.7	34.4		639		444.8		154	42.9	30.5	المساحة	
).1	0.3	1.5	2.2		41		28.5		9.9	2.8	2	النسبة	ابراهيم
					639		444.8		154		30.5	المساحة	
					41		28.5		9.9		2	النسبة	سلطانيات
				60.6	639	81.5	444.8	42.4	154	42.9	30.5	المساحة	7
				3.9	41	5.2	28.5	2.7	9.9	2.8	2	النسبة	النوجة
	4.5	22.7	34.4	60.6	639	81.5	444.8	42.4	154	42.9	30.5	المساحة	-10.1
	0.3	1.5	2.2	3.9	41	5.2	28.5	2.7	9.9	2.8	2	النسبة	بارزان
				60.6	639	81.5	444.8	42.4	154	42.9	30.5	المساحة	-1
				3.9	41	5.2	28.5	2.7	9.9	2.8	2	النسبة	بن حياو <i>ي</i> — . ت
				60.6		81.5		42.4			30.5	المساحة	
				3.9		5.2		2.7			2	النسبة	ِض بعجة

الجدول 6: قيم الـ(VQ) لأحواض قضاء الشرقاط

128372	722442	2827232	3399157	460545	86835301	9896756	30826920	4552416	22270265	5460769	5587622	QV	قيم معامل
												ن	الاحواض
				60.6	639	81.5	444.8	42.4	154	42.9	30.5	المساحة	
				3.9	41	5.2	28.5	2.7	9.9	2.8	2	النسبة	ام الشبابيط
					639		444.8		154		30.5	المساحة	
					41		28.5		9.9		2	النسبة	خرج الحمار
				60.6	639	81.5	444.8	42.4	154	42.9	30.5	المساحة	الطرفان
				3.9	41	5.2	28.5	2.7	9.9	2.8	2	النسبة	الطرقان
1	4.5	22.7	34.4	60.6	639	81.5	444.8	42.4	154	42.9	30.5	المساحة	1 11
0.1	0.3	1.5	2.2	3.9	41	5.2	28.5	2.7	9.9	2.8	2	النسبة	المياحي
				60.6	639	81.5	444.8	42.4	154	42.9	30.5	المساحة	**
				3.9	41	5.2	28.5	2.7	9.9	2.8	2	النسبة	البير
					639		444.8		154			المساحة	11 -
					41		28.5		9.9			النسبة	شب الحور
					639		444.8		154		30.5	المساحة	71 .
					41		28.5		9.9		2	النسبة	محمد باقر
1	4.5	22.7	34.4		639		444.8		154	42.9	30.5	المساحة	
0.1	0.3	1.5	2.2		41		28.5		9.9	2.8	2	النسبة	ابراهيم
					639		444.8		154		30.5	المساحة	-1 -11 1 11
					41		28.5		9.9		2	النسبة	السلطانيات

11 التحليل والنمذجة الهيدرولوجية للجريان السطحي للأحواض المائية في منطقة (قضاء الشرقاط – محافظة صلاح الدين) دراسة مقارنة.......

7:11	المساحة	30.5	42.9	154	42.4	444.8	81.5	639	60.6				
النوجة	النسبة	2	2.8	9.9	2.7	28.5	5.2	41	3.9				
.1. 1.	المساحة	30.5	42.9	154	42.4	444.8	81.5	639	60.6	34.4	22.7	4.5	
بارزان	النسبة	2	2.8	9.9	2.7	28.5	5.2	41	3.9	2.2	1.5	0.3	
	المساحة	30.5	42.9	154	42.4	444.8	81.5	639	60.6				
عين حياوي	النسبة	2	2.8	9.9	2.7	28.5	5.2	41	3.9				
	المساحة	30.5			42.4		81.5		60.6				
حوض بعجه	النسبة	2			2.7		5.2		3.9				



الشكل 3. خارطة المعاملات المائية لطريقة (CN-SCS) في احواض قضاء الشرقاط

ثانياً: نموذج (snyder):

من خلال تطبيق المعادلات أعلاه على احواض منطقة الدراسة تم التوصل الى نتائج متغيرات نموذج (snyder) كما موضح في الجدول رقم (7) والشكل رقم (4).

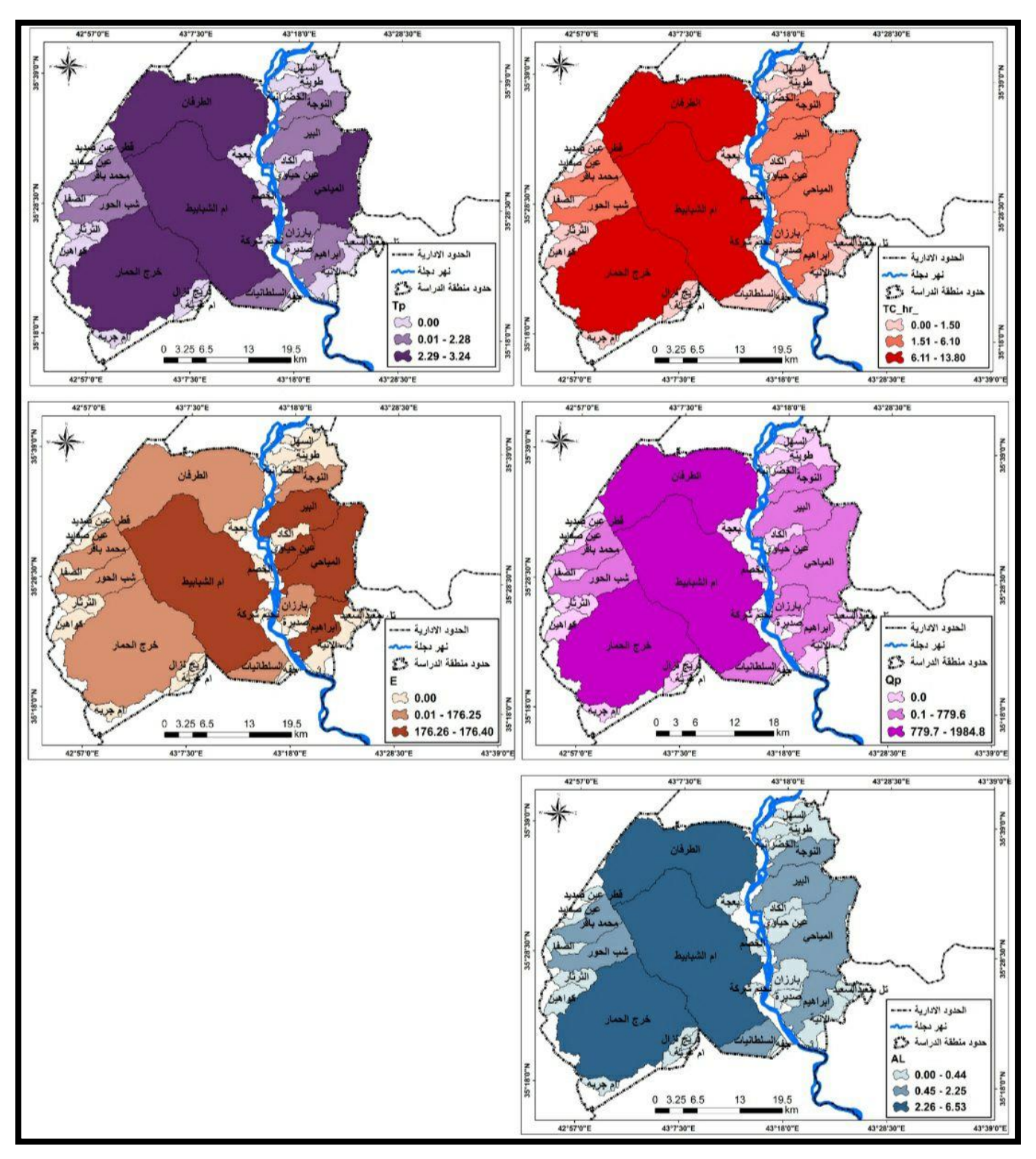
حجم الجريان السطحي للسيل	عمق الجريان السطحي	كمية التدفق الاقصى	TC _(hr) زمن التركيز	زمن التباطؤ او زمن الاستجابة	اسم الحوض	ت
AL	للسيل Emm	Qp	بالساعات	Тр		
6.53	176.40	1984.79	13.8	3.24	حوض ام الشبابيط	1
5.16	176.2	1843.30	10.3	2.76	حوض خرج الحمّار	2
4.21	176.25	1568.70	7.8	2.64	حوض الطرفان	3
2.25	176.39	779.62	6.1	2.52	حوض المياحي	4
1.11	176.38	506.07	4.5	2.16	حوض البير	5
0.95	176.23	413.21	3.7	2.28	حوض شب الحور	6
0.75	176.13	365.53	3.6	2.04	حوض محمد باقر	7
0.71	176.4	394.28	3.5	1.81	حوض ابراهيم	8
0.58	176.07	343.635	1.5	1.68	حوض السلطانيات	9
0.55	176.2	259.96	3.9	1.92	حوض النوجة	10
0.44	176.15	281.40	2.8	1.56	حوض بارزان	11
0.35	176.37	243.06	2.3	1.44	حوض عين حياوي	12
0.19	175.99	145.78	1.2	1.32	حوض بعجة	13
	•		65		المحموع	

الجدول 7: متغيرات نموذج (سنايدر) لأحواض قضاء الشرقاط (ساعة / دقيقة)

ثالثاً: المقارنة بين الطريقتين:-

من خلال الجدول (8) الذي يوضح المقارنة ما بين طريقة (CN-SCS) وبين نموذج (Snyder). تظهر نتائج المقارنة من خلال مناقشة النتائج التالية في ادناه.

من خلال ملاحظة الجدول (8) وتفسير نتائج المقارنة التي اختبرت المعاملات ما بين الطريقة والنموذج والتي تبين لنا بان معاملات طريقة (CN-SCS) هي مشابهة لنموذج (Snyder)، لكن تختلف عنه في بعض الجزئيات التي لا تغير ولا تؤثر في تقييم النتائج العامة الا ان الفرق ما بين الطريقة والنموذج فإن الطريقة تعطي نتائج على مستوى سنوي متوقع بالنسبة للقياسات الهيدرولوجية التي تعمل بها وخاصة عمق الجريان السطحي السنوي وحجم الجريان السطحي السنوي، بينما نموذج سنايدر يعطي نتائج دقيقة على مستوى اليوم والساعة والدقيقة لدرجات ومخاطر ذروة السيول التي تتعرض لها الاحواض المائية في قضاء الشرقاط وتكون وحدات قياسها متعددة، كذلك ان نموذج سنايدر يدرس طرقاً أكثر فيما يخص السيول وفق معادلات متعددة وبتفاصيل دقيقة جداً على مستوى يومي وساعاتي ودقائق مقارنة مع طريقة (CN-SCS).



الشكل 4: خارطة المعاملات المائية لطريقة (Snyder) في احواض منطقة الدراسة

الجدول 8: يوضح المقارنة بين طريقة (CN-SCS) وبين نموذج (Snyder)

ان قيم الـ (CN) نتراوح ما بين (92-30) قيمة مع وجود تباين في المساحات التي تشغلها كل فئة من الفئات المذكورة، فسجلت اعلى مساحة في المناطق التي بلغت بها أن زمن التباطؤ (Tp) او زمن استجابة الاحواض المائية المدروسة لهطول الامطار والتي قيمة الـ (CN) (58) بمساحة بلغت (444.8) كم، في حين سجلت أقل قيمة تراوحت بين (0.22) ساعة كأقل مدة زمنية ممكنة في حوض (بعجة)، ويبدأ بعدها الجريان للـ (CN) (81) بمساحة (1) كم، اذ نلاحظ ان اغلب مساحات منطقة الدراسة تقع ضمن قيم الـ (CN) التي تتجاوز قيمة الوسيط (50)، كما أن أكثر المساحات سجلت السطحي، وبين (5.94) ساعة كأقصى مدة زمنية ممكنة في حوض (ام الشبابيط)، ويتضح ايضا انه كلما زادت قيم (ct) ارتفع زمن استجابة الاحواض للوصول الى ذروة التدفق بدلالة ضمن الطبقة الهيدرولوجية للتربة (B) والتي بلغت مساحتها (1253.4) كم، يتبين قلة الانحدار ، بينما قلة قيم (ct) تعني زيادة الانحدار وبالتالي تناقص قيم (Tp). في ذلك اشارة واضحة على ان اغلب اجزاء منطقة الدراسة من الممكن أن يحصل فيها توليد جربان مائي، مع امكانية تحديد المكان الملائم لاستغلال مياه السيول والفيضانات القادمة الى المنطقة والتي يمكن الاستفادة منها في شتى المجالات. ان مجموع زمن التركيز (TC) بلغ في احواض منطقة الدراسة (65) ساعة أي ما يعادل ان قيم (S) بلغت قيمة الوسيط للمعامل (S) ما يقارب الـ (254) ملم، فكلما زادت

(3900) دقيقة، وهذا يدل على أن زمن التركيز للحوض متوسط ويشير ذلك إلى السرعة قيم (S) عن الوسيط دل ذلك على ارتفاع إمكانية التربة في حفظ الماء وبالتالي يؤدي المتوسطة لوصول المياه إلى المصب أثناء الجريان السطحي، أما على مستوى الأحواض الى انخفاض كمية الجريان السطحي، في حين ان القيم الأقل من الوسيط تدل على الرئيسية فقد سجل أعلى زمن تركيز في حوض (ام الشبابيط) وبلغ (13.8) ساعة اي ما انخفاض قدرة التربة على الاحتفاظ بالماء مما ينعكس ذلك على توفير كمية كبيرة من يعادل (828) دقيقة، في حين بلغ أدنى زمن تركيز في حوض (السلطانيات) وبقيمة (1.5) ساعة ما يعادل (90) دقيقة وتراوحت بقية الأحواض بين هذه القيم.

نموذج (Snyder)

ان كمية التنفق الأقصى للسيول (Qp) في الاحواض المائية حسب القيم المناسبة لكل من عاملي الـ (tp) والـ (cp) أن اقصى كمية لتدفق السيول في حوض (ام الشبابيط) يصل الي (3861.48) م3/ ثا على التوالي. أما أدني كمية لتدفق السيول في حوض (بعجة) يصل الى (7.93) م3/ثا على التوالي، وإن اعلى نسبة تفاوت بلغت بين القيم الاعلى والادنى (35.78) مرة وكانت في حوض (ابراهيم). ومن خلال ذلك نلاحظ ان هناك زيادة في كميات تدفق السيول للأحواض المائية، اذ أنه كلما زادت قيمة (cp) وقلت قيمة (ct) يزداد التصريف لمياه السيول.

أن اقصى عمق للجريان السطحي (Emm) المناسب لذروة تنفق السيول في احواض منطقة الدراسة وصل في حوضى (المياحي، وبارزان) والذي يتراوح بين (343.19 -342.9) ملم على التوالي، بينما بلغ أدنى عمق للجريان السطحي المناسب لذروة تدفق السيول في احواض منطقة الدراسة والذي وصل في حوضي (وام الشبابيط، وابراهيم) اذ تراوحت هذه الاعماق ما بين (9.60 - 9.6) ملم على التوالي.

ويلاحظ ان جميع الاعماق ممكنة الحدوث في احواض منطقة الدراسة، وبالتالي تحقق ذروة تدفق السيول والتي بدورها تسهم مع زيادة عمق الجريان في زيادة المخاطر الهيدرولوجية.

أن أعماق الجريان السطحي السنوي (Q) تراوحت ما بين (7.6-183.4) ملم، وبلغ معدل عمق الجريان السطحي السنوي (117.7) ملم، مما يشير الى إمكانية توليد جريان سطحي في الاحواض المائية الموجودة ضمن منطقة الدراسة.

المياه الجارية على السطح (مياه الجريان السطحي).

ان قيم المعامل (LA) في احواض منطقة الدراسة معظمها منخفضة وأقل من

الوسيط، إذ تراوحت هذه القيم ما بين (1) ملم لأقل فاقد اولي لمياه المطر، و

(118.5) ملم لأعلى فاقد اولي لمياه المطر التي تتصف بنفانيتها العالية كما ذكرنا

سابقاً. وبصورة عامة ان هذه القيم تشير إلى إمكانية توليد جريان سطحي مائي في

معظم أجزاء المنطقة.

طريقة (CN-SCS)

أن مجموع حجم الجربان السطحى السنوي (QV) للأحواض المدروسة بلغ (172967797) م3، وتراوحت قيم حجم الجريان السطحي السنوي ما بين (128372) م3 الأقل تقدير والذي يظهر في اغلب اجزاء المنطقة، وبين (86335301) م3 الأعلى تقدير والذي يظهر في معظم اجزاء منطقة الدراسة بمساحة قدرها (1558.33) كم2، اذ ان نتائج احتساب الخصائص الهيدرولوجية لأحواض منطقة الدراسة تؤكد وجود كمية مياه جيدة مقارنة بمناخ المنطقة الشبه الجاف اثناء فترة التساقط يمكن الاستفادة منها في اوقات الجفاف.

أن اقصى حجم للسيول (AL) في احواض منطقة الدراسة وصل في حوض (ام الشبابيط، وبعجة) والذي تراوح بين (10.00 – 0.29) مليون/ م3 على التوالي، بينما بلغ أدنى حجم للسيول في احواض منطقة الدراسة والذي وصل في حوض (ام الشبابيط، وبعجة) اذ تراوح بين (0.09 – 3.07) مليون/ م3 على التوالي.

وكذلك يلاحظ ان هناك تفاوت في احجام السيول بين احواض منطقة الدراسة، الا ان تلك الحجوم وخاصة القصوى منها تمتلك فرص خطورة عالية جدا على هذه الاحواض.

الاستنتاجات

ان اهم الاستنتاجات التي تم التوصل اليها من خلال اجراء هذه الدراسة يمكن تحديدها بما يلي:

1. من خلال قيم (CN) تبين ان اغلب اجزاء منطقة الدراسة من الممكن أن يحصل فيها توليد جريان مائي، مع امكانية تحديد المكان الملائم لاستغلال مياه السيول والفيضانات القادمة الى قضاء الشرقاط والتي يمكن الاستفادة منها في شتى المجالات، بينما نموذج (Tp) يوضح انه كلما زادت قيم (ct) ارتفع زمن استجابة الاحواض للوصول الى ذروة التدفق بدلالة قلة الانحدار، بينما قلة قيم (ct) تعنى زيادة الانحدار وبالتالى تناقص قيم (Tp).

- 2. ان قيم (IA) في احواض قضاء الشرقاط معظمها منخفضة وأقل من الوسيط وهذه اشارة واضحة إلى إمكانية توليد جربان سطحي مائي في معظم أجزاء المنطقة، بينما نموذج (Qp) كمية التدفق الاقصى للسيول اتضح ان هناك زيادة في كميات تدفق السيول للأحواض المائية، اذ أنه كلما زادت قيمة (cp) وقلت قيمة (ct) يزداد التصريف لمياه السيول.
- 3. أن عمق الجربان السطحي السنوي (Q) ضمن طريقة (CN-SCS) يشير الى إمكانية توليد جربان سطحي في الاحواض المائية الموجودة ضمن قضاء الشرقاط، بينما عمق الجربان السطحي (Emm) المناسب لذروة تدفق السيول في احواض المنطقة يشير الى ان جميع الاعماق ممكنة الحدوث في احواض قضاء الشرقاط، وبالتالي تحقق ذروة تدفق السيول والتي بدورها تسهم مع زبادة عمق الجربان في زبادة المخاطر الهيدرولوجية.
- 4. ان حجم الجريان السطحي السنوي (QV) تؤكد وجود كمية مياه جيدة مقارنة بمناخ المنطقة الشبه الجاف اثناء فترة التساقط يمكن الاستفادة منها في اوقات الجفاف، بينما حجم السيول (AL) في نموذج سنايدر يوضح ان تلك الحجوم وخاصة القصوى منها تمتلك فرص خطورة عالية جدا على هذه الاحواض المائية.
- 5. كشفت الدراسة بان هناك تشابه واضح بين طريقة (CN-SCS) ونموذج (Snyder) وذلك من خلال اجراء الاختبار او المقارنة الهيدرولوجية التي تمت مطابقتها من قبل الباحث والتي تم من خلالها الوصول الى نتائج دقيقة تخص السيول وخصائصها ومعرفة طبيعة الجريانات المائية في احواض قضاء الشرقاط، فان أفضل طريقة لحساب تدفق السول وتقدير حجم الجربان السطحى هي طريقة سنايدر؛ لأنها تدرس متغيرات متعددة اكثر من طريقة (cn-scs)، وكذلك تكون معادلاتها تحتسب على مستوى اليوم والساعة والدقيقة.

المصادر

- Al-Koumi, A.B., 2022. Hydrological Modeling of the Emo Valley Basin in the Eastern Desert Using the (HEC-HMS) Model, a Study in Applied Geomorphology, Journal of the Faculty of Arts, Favoum University, Humanities and Social Sciences, Volume 14, Issue 2, pp. 1175.
- Al-Saidi, A.H.J.M. and Al-Ajili, A.S.A., 2019. Hydrology of the Wadi Jadah Basin in the Samawah Desert Using Geographic Techniques, Journal of Arts, Supplement (3), Issue (131), pp. 163.
- Hussein, Z.I., 2022. Spatial Modeling of Hydromorphometric Risks in the Wadi Shirana Basin, Diyala Journal of Humanitarian Research, No. 93, pp. 426.
- Omran, H.A., and Al-Saadi, H.K.H., 2020. Morphometry of the Wadi Al-Karawi Basin (East of Wasit Governorate), Babylon University Journal for the Human Sciences, Volume 28, Issue 2, pp. 89.
- Khader, S.H., 2022. Extracting the Hydrological Characteristics of Hos Quwaisi Using the (CN-SCS) Model, Special Issue of the Fourth International Scientific Conference / Historical and Geographical Studies ISSN: 7452-1992, pp. 864.
- Al-Fatlawi, W.H.H. and Al-Zamili, A.J.H., 2020. Analysis of Hydrological Characteristics, a Comparative Study Between (CN-SCS) and the Correlations Between Morphometric and Hydrological Variables in the Wadi Abu Khamsa Basin, West of Najaf, Journal of Kufa Arts, Vol. 42, Issue 1, pp. 215.
- USDA, 208. National, Nonpint Source Monitoring Program (NNPSMP), Surface Water Flow measurement for Water Quality Monitoring Projects, pp. 1-3.

- Al-Sharifi, A.M.K. and Abdel Reda, Z.M., 2018. Building a Surface Runoff Model for the Wadi Mazal Basin Using the (CN-SCS) Method, Al-Qadisiyah Journal for the Human Sciences, Vol. 21, Issue 4, pp. 361.
- Ghorban V., 2013. Determination of the Best Method of Estimating the Time of Concentration in Pasture Watersheds (Case Study: Banadak Sadat and Siazakh Watersheds, Iran), Journal of Biodiversity and Environmental Sciences (JBES), Faculty of Natural Resources, Sari Agricultural Sciences and Natural Resources University, Sari, Iran, pp. 153.
- Younis, S.S. and Muhammad, M.I., 2013. The Effect of Rain Drainage Sustainability on Maximum Drainage, University of Mosul, Department of Dams and Water Resources Engineering, pp. 40.
- Raghunath H, M, 2006. Hydrology: Principles Analysis and Design; Revisal Second Edition Limited, New Delhi, 150 P.
- Pnud, 1987. Ressources en eau dans les pays de l'Afrique du Projet Nord;RAB/11/8 guide. maghrébin pour l'éxécution des études et ldes travaux de retenues collinaires. OPU, Alger Ope, pp. 1 -177.